

EL NIÑO OSCILACIÓN DEL SUR (ENOS) - febrero 2020-

Por Carlos Ramírez y Elmer Orrego, marzo 16, 2020

Condición actual - Neutral -

En el mes de febrero las Temperaturas en la Superficie del Mar (TSM) evidenciaron estar por encima del promedio en el Océano Pacífico ecuatorial, sin embargo persisten condiciones neutras. En la última semana los índices TSM más recientes para las regiones del fenómeno de El Niño estuvieron más cálidos, siendo $+0.1^{\circ}\text{C}$ para la región 3, 0.5°C para la región 3.4 y 1.1°C en promedio para las regiones Niño 4 y Niño 1+2. A pesar del calentamiento, el sistema combinado oceánico-atmosférico asociado al fenómeno es consistente con El Niño Neutral (Figura 1).

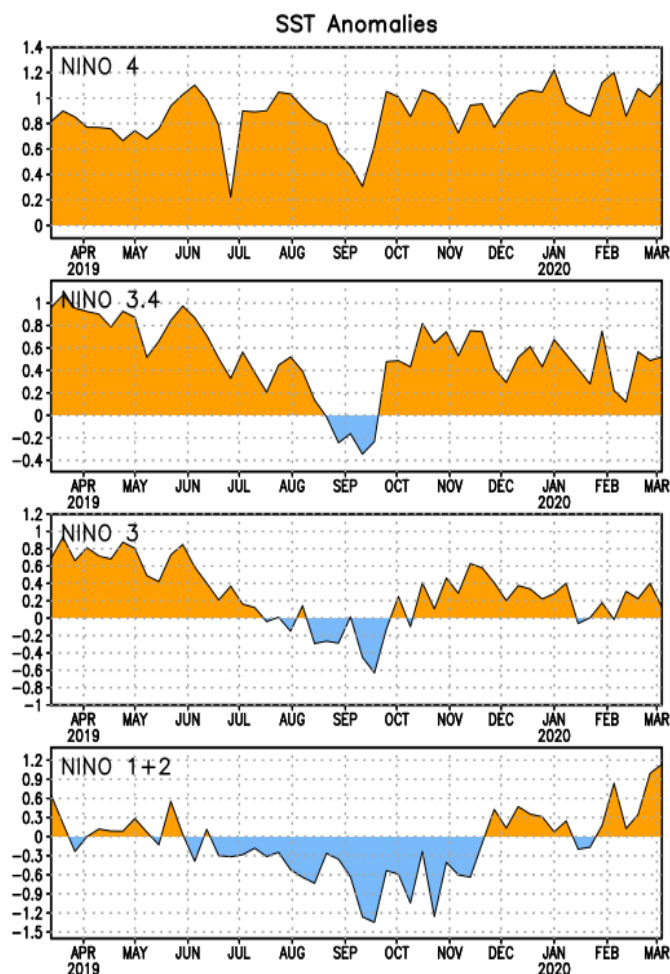


Figura 1. Anomalías de la TSM en las diferentes regiones de ENOS. Fuente: NOAA, 2020.

Condición esperada

Según el Centro de predicción climática de la NOAA¹, la mayoría de modelos continúan favoreciendo a condiciones neutrales del fenómeno ENOS (-0.5°C y +0.5°C). Las probabilidades con respecto al fenómeno Neutral aumentan y favorecen a que éste continúe para la primavera (marzo-mayo) 2020 con un 65% de probabilidades y 55% de probabilidad hasta verano (junio-agosto) 2020, en el Hemisferio Norte. La perspectiva de la mayoría de los modelos dinámicos y estadísticos del IRI², favorecen a ENOS-neutral para la región del Niño 3.4, la más representativa para Guatemala y El Salvador.

En resumen, se espera que ENOS neutral continúe probablemente a mediados del año 2020 (figura 2 y cuadro 1).

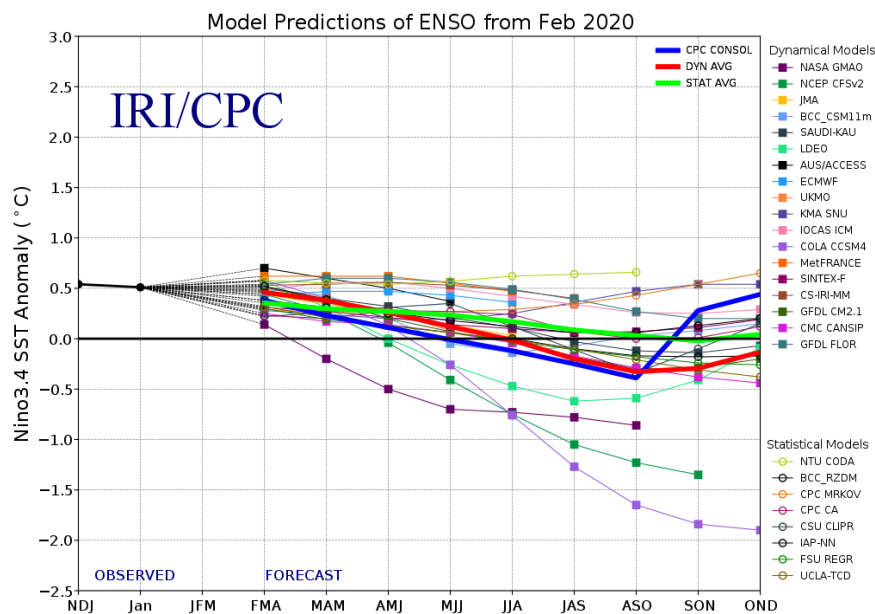


Figura 2: Modelos de predicción del ENOS de febrero 2020.

Referencia: FMA: febrero-marzo-abril; MAM: marzo-abril-mayo; AMJ: abril-mayo-junio; MJJ: mayo-junio-julio; JJA: junio-julio-agosto; JAS: julio-agosto-septiembre; ASO: agosto-septiembre-octubre; SON: septiembre-octubre-noviembre; OND: octubre-noviembre-diciembre. Fuente: IRI, 2020..

¹ National Oceanic and Atmospheric Administration, NOAA.

² International Research Institute for Climate and Society, IRI.

Cuadro 1. Distribución de probabilidades de ocurrencia de eventos de ENOS, para el año 2020 en base a los modelos dinámicos y estadísticos del IRI/CPC.

Estación	La Niña	Neutral	El Niño
FMA 2020	1%	60%	39%
MAM2020	2%	67%	31%
AMJ 2020	8%	66%	26%
MJJ 2020	16%	60%	24%
JJA 2020	25%	53%	22%
JAS 2020	31%	48%	21%
ASO 2020	35%	45%	20%
SON 2020	38%	43%	19%
OND 2020	40%	41%	19%

Referencia: FMA: febrero-marzo-abril; MAM: marzo-abril-mayo; AMJ: abril-mayo-junio; MJJ: mayo-junio-julio; JJA: junio-julio-agosto; JAS: julio-agosto-septiembre; ASO: agosto-septiembre-octubre; SON: septiembre-octubre-noviembre; OND: octubre-noviembre-diciembre. Fuente: IRI, 2020.

Inicio de la Estación Lluviosa (IELL)

De acuerdo al comportamiento del ENOS-Neutro actual y el comportamiento del IELL en el sur de Guatemala, se presenta en la figura 3 las fechas probables para el inicio de la estación lluviosa durante este 2020, basado en la altitud de cada lugar.

Altitud (msnm)	Fecha probable del IELL	Probabilidad
300-500	6-15 abril	29-48%
100-300	16-25 abril	34-48%
40-100	6-15 mayo	39-51%
0-40	16-25 mayo	41-58%

Información que se actualiza cada quincena (aproximadamente). Esto se calcula trasladando el comportamiento histórico del IELL y el pronóstico de los modelos para el 2020.	NOTA: El comportamiento histórico del IELL fue realizado con la información de la red de estaciones del ICC, con datos desde el año 2008 hasta el 2019.
---	--

Figura 3: Probable IELL en el sur de Guatemala durante el 2020. Fuente ICC, 2020.

Referencias

ICC (Instituto Privado de Investigación sobre Cambio Climático). 2020. Caracterización del Inicio de la Estación Lluviosa (IELL) en el Sur de Guatemala. Guatemala.

IRI. (05 de 11 de 2018). *International Research Institute for Climate and Society*. Recuperado el 16 de Marzo de 2020, de <https://iri.columbia.edu/our-expertise/climate/forecasts/enso/current/>

NOAA. (17 de 11 de 2018). *National Oceanic and Atmospheric Administration*. Recuperado el 16 de Marzo de 2020, de <http://www.cpc.ncep.noaa.gov/products/precip/CWlink/MJO/enso.shtml#current>